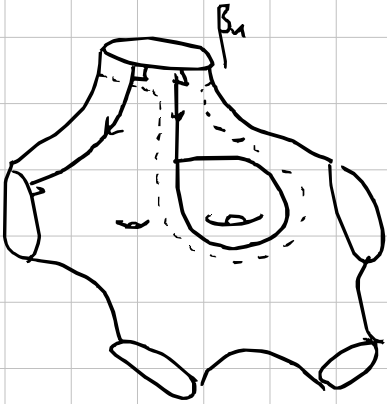


# Réursion topologique et conséquences

Fin de la démo des identités de McShane

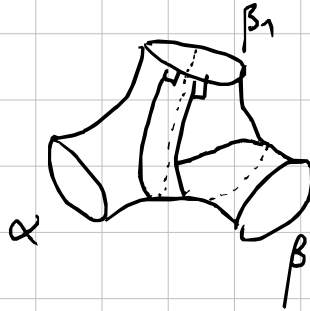


$\phi: \alpha \mapsto P$  pantalon dont un des bords est  $\beta_1$

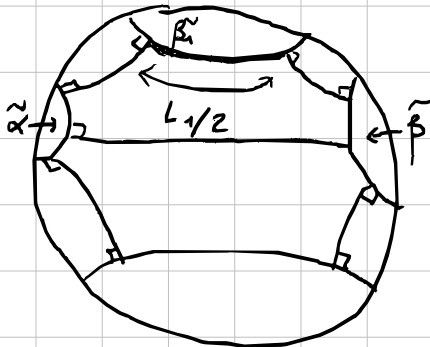
$$\text{Leb}(\beta_1) = L_1 = \sum_P \text{Leb}(\phi^{-1}(P))$$

Soit  $P$  donné :

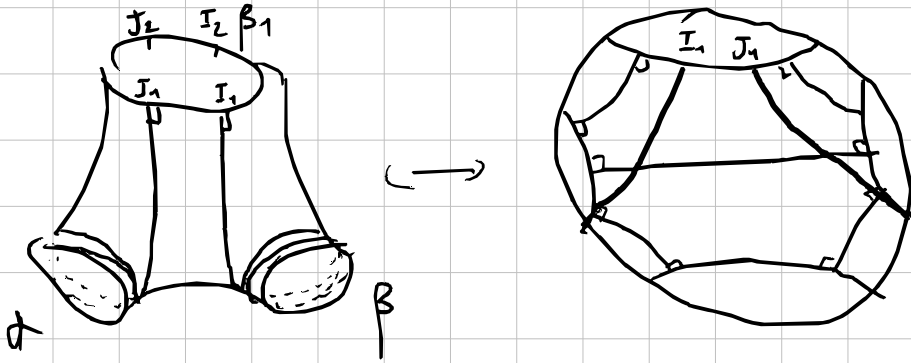
On identifie  $\phi^{-1}(P)$



On décompose le pantalon en 2 hexagones isométriques via des orthogodésiques



Il existe des géodésiques qui spiralent sur les bords :

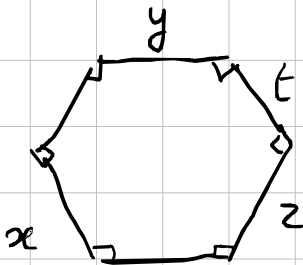


Si  $\alpha, \beta$  courbes intérieures à  $S^{g,n}$  :

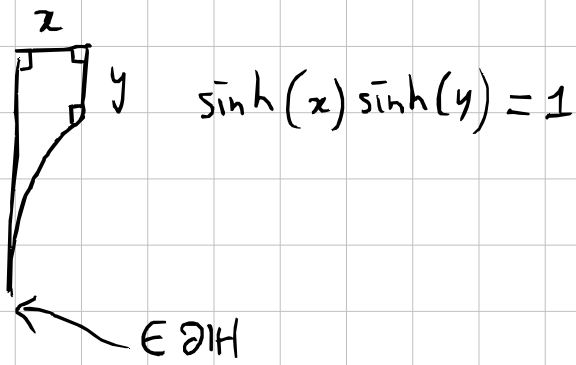
$$\partial'(P) = ]I_1, J_1[ \cup ]I_2, J_2[$$

(sinon

On applique des formules trigo :



$$\cosh(t) = \frac{\cosh(y)\cosh(z) + \cosh(x)}{\sinh(y)\sinh(z)}$$



On obtient :

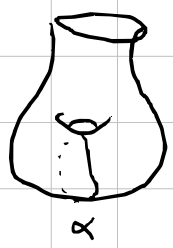
$$\text{Leb}(\Phi^{-1}(P)) = \mathcal{D}(L_1, \ell(\alpha), \ell(\beta))$$

et si  $\beta = \beta_j$  est une autre composante de bord,

$$\Phi^{-1}(P) = \int I_1, \mathcal{J}_1[U] I_2, \mathcal{J}_2[U] I_1, I_2 [$$

et on obtient  $\text{Leb}(\Phi^{-1}(P)) = \mathcal{R}(L_1, L_j, \ell(\alpha))$ .

Application : volume de  $M_{1,1}(L)$



$$L = \sum_{\substack{\alpha \text{ géodés.} \\ \text{simples}}} \mathcal{D}(L, \ell_x(\alpha), \ell_x(\alpha))$$



$$2L = \sum_{\substack{\vec{\alpha} \text{ géod. simple} \\ \text{orientée}}} \mathcal{D}(L, \ell_x(\vec{\alpha}), \ell_x(\vec{\alpha}))$$

$$\text{Donc } 2L \int_{\mathcal{M}_{1,1}(L)} 1 d\mu_{WP} = \int_0^{\infty} \mathcal{D}(L, x, x) x dx$$

$\underbrace{\mathcal{M}_{1,1}(L)}_{\text{Vol}(\mathcal{M}_{1,1}(L))}$

$$2L \text{Vol}(\mathcal{M}_{1,1}(L)) = \int_0^{\infty} 2 \log\left(\frac{e^{L/2} + e^x}{e^{-L/2} + e^x}\right) x dx$$

$$\text{On a } \frac{\partial}{\partial L} \mathcal{D}(L, x, x) = \frac{1}{1+e^{x-L/2}} + \frac{1}{1+e^{x+L/2}}$$

$$\begin{aligned} \text{Donc } \frac{\partial}{\partial L} (2L \text{Vol}(\mathcal{M}_{1,1}(L))) &= \int_0^{\infty} x \left( \frac{1}{1+e^{x-L/2}} + \frac{1}{1+e^{x+L/2}} \right) dx \\ &= 2 \underbrace{\int_0^{\infty} \frac{y}{1+e^y} dy}_{\frac{\pi^2}{6}} + \underbrace{\int_0^{L/2} (y - \frac{L}{2}) dy}_{\frac{L^2}{8}} \end{aligned}$$

$$\text{Donc } \text{Vol}(\mathcal{M}_{1,1}(L)) = \frac{\pi^2}{12} + \frac{L^2}{48} = \frac{1}{L} \left( \frac{\pi^2}{6} + \frac{L^2}{24} \right)$$

→ facteur  $\frac{1}{L}$  par rapport aux formules de Mirzakhani.

Il existe une involution  $R$  ( $R^2 = \mathbb{I}$ ), appelée involution hyperelliptique, qui agit comme une isométrie quelle que soit la métrique hyperbolique (envoie toute géod. simple sur elle-même en renversant l'orientation)

→  $R \in \text{MCG}^+(S^{2,1})$  : - non trivial  
- agit trivialement sur  $\tilde{T}(S^{2,1})$

$$\begin{aligned} \text{On a donc } \mathcal{M}(S^{2,1}) &= \text{MCG}^+(S^{2,1}) \setminus \tilde{T}(S^{2,1}) \\ &= (\text{MCG}^+ / \langle R \rangle) \setminus T(S^{2,1}) \quad (*) \end{aligned}$$

c'est de là que provient le facteur  $\frac{1}{2}$  : dans (\*) on quotiente par un espace 2 fois plus gros.

NB: On note que  $\text{Vol}(\mathcal{M}_n(L))$  est un polynôme en  $L$ .

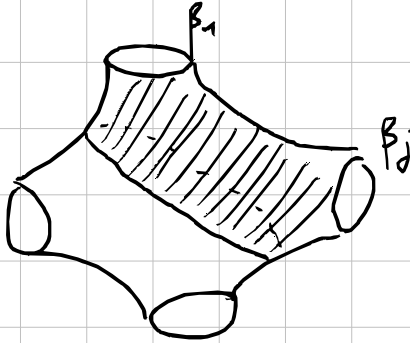
Récursion topologique: On suppose  $n \geq 1$

$$L_n = \sum_{\alpha, \beta} \mathcal{D}(L_n, \ell_\alpha(\alpha), \ell_\alpha(\beta)) + \sum_{j=2}^n \sum_{\beta} \mathcal{R}(L_n, L_j, \ell_\alpha(\beta))$$

On intègre sur l'espace des modules:

$$L_1 \text{Vol}(\mathcal{M}_{L_1, \dots, L_n}(S^{g,n})) = A + B + C$$

B:

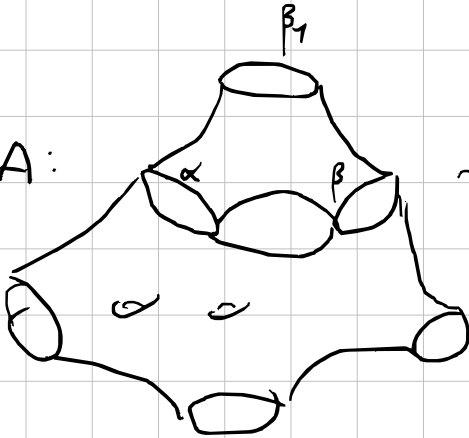


Notation:

$$V_{g,n}(L_1, \dots, L_n) = \text{Vol}(\mathcal{M}_{g,n}(L_1, \dots, L_n))$$

$$\sum_{j=2}^n \int_0^\infty R(L_i, L_j, x) V_{g, n-1}(x, (L_k)_{k \neq i, j}) x dx = B$$

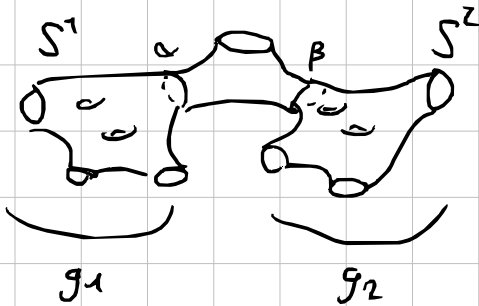
A:



$\sim S^{g,n} \setminus P$  est connexe

$$A = \frac{1}{2} \int_{(0, \infty)^2} \mathcal{D}(L_1, x_1, x_2) V_{g-1, n+1}(x_1, x_2, (L_k)_{k \neq 1}) x_1 dx_1 dx_2$$

$C: S^{g,n} \setminus P$  pas connexe



avec  $g_1 + g_2 = g$

$I \subset \{2, \dots, n\}$ ,  $J \subset \{2, \dots, n\}$  composantes de bord

$I \cup J = \{2, \dots, n\}$

$\rightarrow S^1$  a genre  $g_1$  et  $|I|+1$  composantes de bord  
 $S^2$  a genre  $g_2$  et  $|J|+1$  " " "

(chaque donnée de  $(g_1, g_2)$ ,  $(I, J)$  correspond à une orbite sous l'action de  $MCG^+$ .

$$C = \sum_{\substack{g_1, g_2: \\ g_1 + g_2 = g}} \sum_{I \cup J = \{2, \dots, n\}} \frac{1}{2} \int_{(0, \infty)^2} \mathcal{D}(L_1, x_1, x_2) V_{g_1, |I|+1}(x_1, (L_k)_{k \in I}) \times V_{g_2, |J|+1}(x_2, (L_k)_{k \in J}) x_1 x_2 dx_1 dx_2$$

Valeur absolue de la caract. d'Euler de  $S^{g,n}$ :

$$|\chi|(g,n) = 2g - 2 + n$$

On a :  $|\chi|(g-1, n+1) = |\chi|(g,n) - 1$

•  $|\chi|(g_1, |I|+1) + |\chi|(g_2, |J|+1)$

$$= 2g_1 - 2 + |I| + 1 + 2g_2 - 2 + |J| + 1$$

$$= 2g - 4 + 2 + n - 1 = |\chi|(g,n) - 1$$

$\Rightarrow L_1 V_{g,n}(L_1, \dots, L_n)$  est exprimé en termes de fonctions  $V_{g,n}$  de caract. d'Euler + petite (en valeur absolue).

Théorème :  $V_{g,n}(L_1, \dots, L_n)$  est un polynôme en

$$\left( \frac{L_1^2}{2}, \dots, \frac{L_n^2}{2} \right).$$

$\rightarrow$  Mirzakhani a donné 2 preuves : une par récurrence, une via Duistermaat - Heckman.



Preuve par récurrence :

$$V_{g,n}(L_1, \dots, L_n) = \sum_{\substack{d=(d_1, \dots, d_n) \\ |d| \leq 3g-3+n}} C_d \prod_{i=1}^n \frac{1}{(2d_i+1)!} \left(\frac{L_i^2}{z}\right)^{d_i}$$

$$C_d = C(d_1, \dots, d_n) = [\tau_{d_1} \dots \tau_{d_n}]_{g,n} \geq 0.$$

Formule de récurrence sur les  $C_d$  démontrée par Liu-Xu et Do-Norbury

Parentèse : interprétation des coefficients  $C_d$  comme des intersections de classes de Chern de fibrés tautologiques  $\mathcal{L}_1, \dots, \mathcal{L}_n$  sur  $\overline{\mathcal{M}}_{g,n}$  en droites complexes.

Cadre général :  $(M, \omega)$  variété symplectique de dim  $2k$ .

$\phi_1^t, \dots, \phi_n^t$  flots hamiltoniens périodiques  $\phi_i^{t+1} = \phi_i^t$  qui commutent.

$H = (H_1, \dots, H_n) : M \rightarrow \mathbb{R}^n$   
hamiltoniens

## Thm (Duistermaat-Heckman)

On suppose 0 valeur régulière de  $H$ . Si  $|a|$  est petit,  
 $H^{-1}(a)$  sous-variété de dim  $2(k-n)$

$M_a := \mathbb{T}^n \setminus H^{-1}(a)$  sous-variété de dim  $2(k-n) \rightarrow$  peut être  
munie d'une forme symplectique  $\omega_a$  (par réduction  
symplectique)

$\text{Vol}_{\omega_a}(M_a)$  est polynomial en  $a = (a_1, \dots, a_n)$

$$\text{Vol}_{\omega_a}(M_a) = \sum_{|a| \leq k-n} C_\alpha a^\alpha$$

$$\text{et } C_\alpha = \text{cste} \cdot \int \phi_1^{\alpha_1} \dots \phi_n^{\alpha_n} \omega^{k-|a|}$$

$C_i$  fibré en cercle correspondant à l'action de  $\phi_i^t$

$\downarrow$   
 $M$

$\rightarrow \phi_i$  classe de Chern

On applique le thm de Duistermaat-Herkman à la situation suivante:



$\vec{\gamma} = (\vec{\gamma}_1, \dots, \vec{\gamma}_m)$  multicourbe à  $m$  composantes

$\Gamma = \text{MCG}^+(S^g)$ ,  $\Gamma' =$  sous-groupe engendré par  $T_1, \dots, T_m$  twists de Dehn et  $\text{MCG}^+(S^g \setminus \gamma)$

$\Gamma' \backslash \tilde{\Gamma}(S^g) = \mathcal{M}$ , muni de  $\omega_{\text{WP}} = \sum_{i=1}^m dl_i \wedge d\theta_i$

où  $l_i = l_x(\gamma_i)$

$\theta_i =$  param. de twist le long de  $\gamma_i$ .  
(modulo  $\mathbb{Z} l_i$ )

$+ \omega_{\text{WP}}|_{\mathcal{M}^g(S^g \setminus \gamma)}$

$H_1, \dots, H_m$ :  $H_i(X) = \frac{l_i^2}{2}$  à pour flot hamiltonien

$\phi_i^t: \theta_i \rightarrow \theta_i + t l_i$  et ne touche pas au reste.

$\rightarrow$  flot 1-périodique donc OK.

Donc  $\text{Vol}(\mathcal{M}_{l_1, l_2, \dots, l_m, l_m} (S \setminus \gamma))$  est polynomial en les  $\frac{l_i^2}{2}$

et on a une interprétation des coef comme intersections de certaines classes de Chern.

→ Permet d'écrire  $C_d = \underbrace{[\tau_{d_1} \dots \tau_{d_n}]_{g,n}}$

apparaissent dans les travaux de Witten

La récursion topologique démontre une conjecture de Witten

Csq sur l'asymptotique des  $V_{g,n}$  en grand genre

( $n$  fixé,  $g \rightarrow \infty$ )

$$\bullet C_{d_1+1, d_2, \dots, d_n} \leq C_{d_1, \dots, d_n} \leq C_{0, \dots, 0} = V_{g,n}$$

$\underbrace{\hspace{10em}}_{\text{cusps}}$   
 $V_{g,n}(0, \dots, 0)$

$$\bullet l_1 \dots l_n V_{g,n}(l_1, \dots, l_n) \leq V_{g,n} \sum_{|d| \leq 3g-3+n} \prod_{i=1}^n \frac{l_i^{2d_i+1}}{l_i} \times \frac{1}{(2d_i+1)!}$$

$$\leq V_{g,n} \prod_{i=1}^n \frac{\sinh\left(\frac{l_i}{2}\right)}{l_i} \leq V_{g,n} e^{\sum_{i=1}^n \frac{l_i}{2}}$$

On peut également montrer :

$$\bullet V_{g,n} \geq V_{g-1,n+2}$$

$$V_{g,n+1} \geq C(2g-2+n) V_{g,n}$$

Nie, Wu, Xue 2022 :

$g \geq 0$ ,  $n_1, \dots, n_g$  fixés

$$\sum_{\substack{g_1, \dots, g_g \\ \sum_{i=1}^g 2g_i - 2 + n_i = r \\ \text{et } 2g_i - 2 + n_i > 0}} V_{g_1, n_1} \dots V_{g_g, n_g} \leq C \left( \frac{C}{r} \right)^{g-1} W_r$$

$$\text{où } W_r = \begin{cases} V_{\frac{r}{2}+1, 0} \\ V_{\frac{r}{2}, 1} \end{cases} \left. \vphantom{\begin{cases} V_{\frac{r}{2}+1, 0} \\ V_{\frac{r}{2}, 1} \end{cases}} \right\} \begin{array}{l} \text{selon} \\ \text{le nb} \\ \text{de comp.} \\ \text{de bord} \end{array}$$

(en valeur absolue)

→ "À caractéristique d'Euler  $r$  grande, l'espace des modules pour les surfaces connexes domine les autres (en volume)"

# Développements asymptotiques de Mirzakhani-Zograf

$$\frac{C_d^{g,n}}{V_{g,n}} = 1 + \frac{e_d^{(1),n}}{g} + \dots + \frac{e_d^{(k),n}}{g^k} + O\left(\frac{1}{g^{k+1}}\right)$$

$$4\pi^2(2g-2+n) \frac{V_{g,n}}{V_{g,n+1}} = 1 + \frac{a_n^{(1)}}{g} + \dots + \frac{a_n^{(k)}}{g^k} + O\left(\frac{1}{g^{k+1}}\right)$$

$$\frac{V_{g,n}}{V_{g-1,n+2}} = 1 + \frac{b^{(1),n}}{g} + \dots + \frac{b^{(k),n}}{g^k} + O\left(\frac{1}{g^{k+1}}\right)$$

$$V_{g,n} = \overset{\text{inconnu}}{\uparrow} \frac{C(2g-3+n)! (4\pi^2)^{2g-3+n}}{\sqrt{g}} \left(1 + \frac{c_n^1}{g} + \frac{c_n^2}{g^2} + \dots\right)$$

Anantharaman-Monk 2022: la dépendance en  $d$  de  $\frac{C_d^{g,n}}{V_{g,n}}$  est polynomiale pour  $|d|$  assez grand.